

Величина E^* , равная

$$E^* = \frac{1}{dn/dt} (\Sigma P_{di} E_i x_d^2(t) - \Sigma P_{id} E_i x_i(t)) \quad (4)$$

в результате решения (2), (3) получается не зависящей от времени и равной $E^* = D - 1.3kT$ (D — энергия диссоциации); таким образом, разность $D - E^*$ близка к средней тепловой энергии системы, независимо от степени отклонения системы от равновесия. Величина τ в (1) при этом меняется совершенно незначительно (фиг. 1), что и дает основания полагать (1) выполняющимся. Этот результат тесно связан с тем фактом, что отклонения от больцмановского распределения молекул по уровням в процессе эволюции системы к равновесию оказались существенны лишь на тех уровнях, где относительно мало число молекул.

Выполненный на ударной трубе эксперимент, в котором исследовалось изменение заселенности группы нижних уровней молекулы кислорода (в спектре поглощения ультрафиолетового излучения в газе за фронтом ударной волны), позволил определить значения τ согласно (1) до температуры 10 000°К (фиг. 2). Согласие результатов расчета и эксперимента подтверждает сделанные выводы относительно возможности использования (1) при решении соответствующих задач динамики газов высокой температуры.

Поступила 19 VIII 1968

ЛИТЕРАТУРА

- Ступченко Е. В., Лосев С. А., Осипов А. И. Релаксационные процессы в ударных волнах. М., «Наука», 1965.
- Осипов А. И. Термическая диссоциация двухатомных молекул при высоких температурах. Теор. и эксперим. химия, 1966, № 5, стр. 649.
- Куксенко Б. В., Лосев С. А. Колебательная релаксация при атом-молекулярных столкновениях. Докл. АН СССР, 1968, т. 178, № 6, стр. 1289.

ОБЪЯСНЕНИЕ ЭФФЕКТА ТОМСА АНИЗОТРОПИЕЙ ВЯЗКОСТИ РАСТВОРА

Г. Ф. Кобец

(Новосибирск)

Томсон [1] экспериментально было установлено, что при турбулентном течении в трубах раствора полиметилметакрилата в монохлорбензole в определенном диапазоне концентрации гидравлическое сопротивление меньше, чем в растворителе. В дальнейшем этот эффект был зафиксирован при турбулентном течении разбавленных водных растворов в трубах, между врачающимися коаксиальными цилиндрами, а также при обтекании тел хорошо и плохо обтекаемой формы. В качестве присадок использовались высокомолекулярные соединения как биологического, так и синтетического происхождения [2–7].

Многочисленными исследованиями были выявлены следующие особенности потоков растворов, обнаруживающих эффект Томса. Во-первых, существенный эффект наблюдался при использовании высокомолекулярных полимеров только цепочечного строения, боковые ответвления его ухудшили [8]. Важная роль удлинения частиц была строго доказана экспериментами по течению в трубе воды, содержащей нейлоновые нити с удлинением от 11.69 до 51.14 [8]. Во-вторых, растворенные частицы влияют главным образом на слой жидкости вблизи стенки, не внося изменений в зону развитого турбулентного потока [9–11].

В работе [12] для объяснения эффекта Томса была предложена гипотеза, которая учитывает указанные две особенности течения растворов. Содержание ее таково: вследствие большого градиента скорости в вязком подслое и слое перехода удлиненные частицы ориентируются вдоль потока и тем самым гасят поперечные пульсации скорости u' . Это приводит к уменьшению турбулентного трения $\rho_0 \langle u'v' \rangle$, где u' — пульсация продольной составляющей скорости.

Ниже приводятся качественные расчеты на основе предложенной гипотезы и сравниваются с экспериментальными данными.

Явление ориентации удлиненных частиц в ламинарном потоке, вызываемое градиентом скорости, показано теоретически (например, [13], стр. 499—521). Его экспериментальное подтверждение следует из анализа кривых зависимости напряжения трения в растворе от градиента скорости ([12, 13], гл. II) и величины двойного лучепреломления в потоке ([13], гл. VII, VIII). Вязкость раствора уменьшается с увеличением градиента скорости (фиг. 1).

Коэффициент вязкости раствора при течении в направлении оси x , приводящего к ориентации удлиненных частиц (фиг. 2, а), обозначим μ_x . В сильно разбавленных растворах

$$\mu_x = \mu_0 (1 + c [\mu]) \quad (1)$$

Здесь μ_0 — вязкость растворителя, c — концентрация, $[\mu]$ — характеристическая вязкость, зависящая от градиента скорости.

Если в потоке раствора с углом наиболее вероятной ориентации Φ_m возникнет вторичное течение со сдвигом по оси y (фиг. 2, б), например, в результате турбулентных пульсаций скорости, то коэффициент вязкости при таком движении назовем μ_y . При достаточно малых градиентах скорости, когда угол $\Phi_m = 45^\circ$, $\mu_x = \mu_y$. С ростом градиента скорости течения по оси x угол $\Phi_m \rightarrow 0$, в результате чего μ_x уменьшается, а μ_y увеличивается. Отношение

$$K_a = \mu_y / \mu_x$$

Фиг. 1. 1 — ньютоновская жидкость (растворитель), 2 — раствор

назовем динамической анизотропией вязкости раствора.

При достаточно малых градиентах скорости $K_a = 1$, при больших — всегда больше единицы. Для любого градиента его можно рассчитать, так как величина μ_y выражается через характеристическую вязкость также формулой (1), но только характеристическая вязкость, в этом случае должна соответствовать сдвигу по оси y .

Будем рассматривать течение в вязком подслое и слое перехода турбулентного потока, где градиент скорости течения вдоль x велик (больше 10^2). Поэтому можно принять $\Phi_m \approx 0$, и тогда расчет K_a значительно упростится.

Покажем это на примере раствора, содержащего простейшие удлиненные частицы — гантели. С методом расчета для частиц более сложной конфигурации можно ознакомиться в [14].

Диссиляция энергии потока гантеляю, приводящая к увеличению вязкости раствора по сравнению с растворителем, линейно зависит от скорости обтекания шарика V (фиг. 2, б).

$$V = 1/2 l \cos \varphi g \quad (2)$$

Здесь l — длина гантели, φ — угол ориентации, g — градиент скорости.

При $\varphi = 0$ и сдвиге по оси x скорость обтекания шарика при вращательном движении $V_1 = 1/2 d g$, (здесь d — диаметр шарика); при $\varphi = 0$ и сдвиге по оси y скорость стоксовского обтекания шарика

$$V_2 = 1/2 l g$$

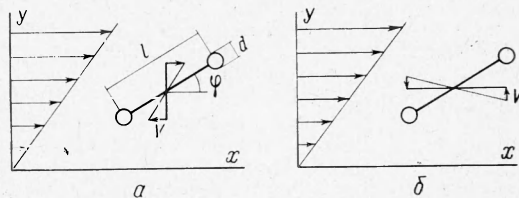
Отсюда видно, что при большом удлинении частицы ($l/d \gg 1$)

$$\mu_y > \mu_x$$

С ростом удлинения частицы величина K_a увеличивается.

Макромолекулы с большим молекулярным весом имеют в растворе более сложную конфигурацию по сравнению с гантелями, палочками, эллипсоидами и другими простейшими фигурами. Однако изложенный подход справедлив и для них, как это следует

из экспериментального определения изменения характеристической вязкости в зависимости от градиента скорости. Так, например, в растворе поли- γ -бензил- L -глутамата с молекулярным весом $1.3 \cdot 10^5$ характеристическая вязкость с увеличением градиента скорости уменьшилась примерно в 7 раз, а с молекулярным весом $3.36 \cdot 10^5$ — примерно в 20 раз. При переходе тех же молекул от цилиндрической спиральной конформации к статистическому клубку уменьшения характеристической вязкости не происходит [13], стр. 174.



Фиг. 2

Для использования в последующих качественных расчетах мы определим предельное значение K_a , характеризующее разбавленный раствор сильно удлиненных частиц с небольшим поперечным размером при течении с большим градиентом скорости, т. е. когда $\varphi_m = 0$. В этих условиях $\mu_x \approx \mu_0$ (фиг. 1, [12]), а μ_y легко рассчитать, используя величину характеристической вязкости при очень малых градиентах скорости. Так как при малых градиентах скорости $\varphi_m = 45^\circ$, а при больших $\varphi_m = 0$, то отношение скоростей обтекания шариков при этих двух углах ориентации, когда сдвиг потока вдоль оси y , равно $\cos 45^\circ$ (равенство (2)). При стоксовском обтекании сопротивление прямо пропорционально скорости набегающего потока, поэтому отношение характеристических вязкостей также равно $\cos 45^\circ$. В результате

$$\mu_y = \mu_0 \left(1 + \frac{c [\mu]_0}{\cos 45^\circ} \right)$$

где $[\mu]_0$ — характеристическая вязкость при очень малых градиентах скорости. Для предельного значения динамической анизотропии вязкости получаем величину

$$K_a = 1 + \sqrt{2c} [\mu]_0 \quad (3)$$

Пока все изложенное относилось к ламинарным течениям. Однако основное требование — наличие большого градиента скорости по одному направлению — выполняется и в турбулентном пограничном слое вблизи стенки (в вязком подслое и слое перехода). В этой зоне удлиненные частицы должны ориентироваться большой осью вдоль твердой поверхности. Пульсационное движение, имеющееся в вязком подслое и слое перехода, будет создавать пульсационные градиенты скорости.

Диссилипация пульсационного движения вдоль и поперек потока определяется продольной μ_x и поперечной μ_y вязкостями. Вследствие динамической анизотропии вязкости гашение поперечных пульсаций должно происходить более интенсивно. В турбулентном ядре, где градиент осредненной скорости относительно невелик, динамическая анизотропия вязкости практически отсутствует, и поток ведет себя как ньютоновская жидкость.

Такая особенность течения растворов экспериментально подтверждена Е. М. Хабахашевой (доклад на Сибирском теплофизическом коллоквиуме, (1968 г.) с методикой измерений можно познакомиться в [15]). В той части вязкого подслоя и слоя перехода, где удалось получить экспериментальные данные, поперечные пульсации скорости в водном растворе оказались примерно в три раза меньше, чем в воде, в то время как продольные в некоторой зоне — даже больше.

Для расчета эффекта Томса будем исходить из экспериментально установленных соотношений для квазистационарной толщины вязкого подслоя и распределения в нем осредненной скорости при течении ньютоновской жидкости

$$\delta_0 = a \frac{v_0}{\sqrt{\tau_w / \rho_0}} \quad \left(v_0 = \frac{\mu_0}{\rho_0} \right) \quad (4)$$

$$U = \frac{\tau_p}{\mu_0} y \quad \text{при } y \leq \delta_0 \quad (5)$$

Здесь δ_0 — толщина вязкого подслоя, v_0 — кинематическая вязкость, τ_w — напряжение трения на стенке, ρ_0 — плотность растворителя, a — экспериментально определенная постоянная, U — осредненная продольная скорость.

Сравним течения растворителя (ニュтоновской жидкости) и раствора при одинаковом градиенте осредненной скорости в вязком подслое. Зависимость напряжения трения на стенке от градиента осредненной скорости в растворе представим в виде, аналогичном (5)

$$\tau_w = \mu_x \frac{dU}{dy} + b \quad (6)$$

Здесь b — неニュтоновская добавка, являющаяся функцией градиента скорости и смысл которой ясен из фиг. 1. Учитывая, что при

$$\frac{dU}{dy} \rightarrow \infty, \quad \mu_x \rightarrow \mu_0 \quad \text{и} \quad \frac{b}{\mu_x \cdot dU / dy} \rightarrow 0$$

можно для достаточно большого градиента осредненной скорости написать

$$\tau_w \approx \tau_w^* \quad (7)$$

где τ_w^* — напряжение трения на стенке в растворе.

Так как в потоках растворителя и раствора различаются только две вязкости μ_y и μ_0 , то для толщины вязкого подслоя в растворе можем написать общее выражение

$$\delta_0^* = a_1 \frac{v_0 f(v_y/v_0)}{\sqrt{\tau_w^* / \rho}} \quad (8)$$

Здесь a_1 — постоянная, ρ — плотность раствора, $f(v_y/v_0)$ — неизвестная пока функция.

Вид функции f можно найти из рассмотрения воздействия на ориентированные осредненным потоком частицы пульсаций скорости. Простейший вид этой функции

$$f\left(\frac{v_y}{v_0}\right) = \frac{v_y}{v_0}$$

Кроме того, допустим, что $a = a_1$. Если теперь учесть соотношение (7) и справедливое для разбавленных растворов $\rho \approx \rho_0$, то для отношения толщин вязкого подслоя можем написать:

$$\frac{\delta_0^*}{\delta_0} \approx \frac{\mu_y}{\mu_0} = K_a \quad (9)$$

т. е. толщина вязкого подслоя в растворе увеличивается по сравнению с растворителем примерно в K_a раз.

Проведем сравнение течений растворителя и раствора при одинаковых градиентах осредненной скорости в вязком подслое. Поэтому на внешней границе вязкого подслоя в растворе осредненная скорость будет больше, чем в растворителе, на ΔU (с учетом соотношений (1), (2) и (7))

$$\Delta U = U_l^* - U_l \approx \frac{\tau_w}{\mu_0} (\delta_0^* - \delta_0) \approx \frac{\tau_w \delta_0}{\mu_0} (K_a - 1) \quad (10)$$

где U_l — осредненная скорость на внешней границе вязкого подслоя.

Для качественного расчета постоянную a можно принять равной 10 [16]. В результате вместо (10) получим

$$\Delta U \approx 10 \sqrt{\tau_w / \rho_0} (K_a - 1) \quad (11)$$

Выигрыш в скорости ΔU , полученный на внешней границе вязкого подслоя (слой перехода в данном качественном расчете не учитывается), будет выигрышем в скорости на внешней границе пограничного слоя, так как в турбулентном ядре раствор ведет себя как ньютонаевская жидкость. Для связи местного коэффициента трения на стенке со скоростью на внешней границе пограничного слоя воспользуемся известной формулой, справедливой при числах Рейнольдса R_x порядка 10^7 (для другого диапазона чисел Рейнольдса следует взять соответствующую зависимость [17])

$$c_f = 0.0576 (R_x)^{-1/5} \quad \left(R_x = \frac{U_0 x}{v_0}, \quad c_f = \frac{2\tau_w}{\rho_0 U_0^2} \right) \quad (12)$$

Здесь c_f — местный коэффициент трения, U_0 — скорость на внешней границе пограничного слоя. Тогда

$$\frac{\Delta U}{U_0} \approx \frac{10 \sqrt{0.0576} (K_a - 1)}{\sqrt{2} (R_x)^{0.1}} \quad (13)$$

С учетом (3) получаем окончательно

$$\frac{\Delta U}{U_0} \approx \frac{5 \sqrt{0.0576} [\mu]_0 c}{(R_x)^{0.1}} \quad (14)$$

Получили качественные соотношения для связи величины эффекта Томса с характеристиками пограничного слоя и раствора. Еще раз отметим основные факторы, ко-

торые следует учитывать более точно, если необходимо получить количественные данные. Во-первых, необходимо учесть конечность удлинения частиц, мы же предполагали его $\gg 1$. При этом может оказаться μ_x заметно больше μ_0 . Нужно также принять во внимание, что удлинение деформируемой частицы зависит от напряжения касательного трения. Во-вторых, для нахождения вида функции $f(v_y/v_0)$ (8) необходимы теоретические и экспериментальные исследования зависимости толщины вязкого подслоя раствора от интенсивности поперечных пульсаций скорости в вязком подслое и слое перехода.

Окончательное выражение (14) не только правильно отражает закономерности турбулентного течения растворов цепочечных макромолекул, но и дает количественно величины, которые согласуются с экспериментальными данными. Так, например, при вязкости раствора $\mu = 2 \text{ cP}$ и числе Рейнольдса $R_x = 10^7$ выигрыш в скорости согласно формуле (15) получается в два раза. Это хорошо согласуется с экспериментами [1-7], в которых величина выигрыша в скорости составляет 30—50%.

В заключение следует остановиться на зависимости эффекта Томса от концентрации раствора (формула (14)): с ростом концентрации его величина возрастает. Экспериментально же установлено, что каждый полимер имеет оптимальную концентрацию, при которой эффект Томса максимален, а при дальнейшем ее увеличении эффект падает. Однако этот факт не противоречит зависимости (14), так как она получена для очень разбавленных растворов и, таким образом, может характеризовать только часть зависимости $U^{-1} \Delta U$ от c .

Поступила 21 X 1968

ЛИТЕРАТУРА

1. T o m s B. A. Some observations on the flow of linear polymer solutions through straight tubes at large Reynolds number. Proc. 1-st Inter. Rheol Congr 1948 Holland. North Holland Publishing Co., Amsterdam, 1949.
2. D o d g e D. W., M e t z n e r A. B. Turbulent flow of non-Newtonian systems. A. J. Ch. E. Journal., 1959, vol. 5, No. 2.
3. S h a v e r R. G., M e r r i l l E. M. Turbulent flow of pseudoplastic polymer solutions in straight cylindrical tubes. A. J. Ch. E. Journal, 1959, vol. 5, No. 2.
4. M e t z n e r A. B., P a r k M. G. Turbulent flow characteristics of viscoelastic fluids. J. Fluid Mech., 1964, vol. 20; No. 2.
5. F a b u l a A. G. The Toms phenomenon in the turbulent flow of very dilute polymer solutions. Proc. 4-th Internat. Congr. Rheol., 1963, p-t 3. New York — London — Sydney, Interscience, 1965.
6. H o y t J. W., F a b u l a A. G. The effect of additives on fluid friction. 5-th Sympos. Naval. Hydrodynam. Ship Motions and Drag Reduct., Bergen, 1964, Washington, D. C., Office Naval Res.— Dept. Navy, 1966.
7. К обец Г. Ф., З а в ъ я л о в а В. С., К о м а р о в а М. Л. Влияние слизи рыб на турбулентное трение. Сб. «Гидродинамические вопросы бионики» Киев, 1968.
8. B o b k o w i c z A. J., G a u v i n W. H. The turbulent flow characteristics of model fibre suspensions. Canad. J. Chem. Engng., 1965, vol. 43, No. 2.
9. E l a t a C., L e h r e r J., K a h a n o v i t z A. Turbulent shear flow of polymer solutions. Israel J. Technology, 1966, vol. 4, No. 1.
10. J a c k l e y D. N. Drag - reducing fluids in a frey turbulent jet. Internat. Shipbuild. Prog., 1967, vol. 14, No. 152.
11. S e y e r F. A., M e t z n e r A. B. Turbulent flow properties of viscoelastic fluids. Canad. J. Chem. Eng., 1967, vol. 45, No. 3.
12. К обец Г. Ф. О механизме влияния растворенных макромолекул на турбулентное трение. Сб. «Гидродинамические вопросы бионики», Киев, 1968.
13. Ц в е т к о в В. Н., Э ск и н В. Е., Ф р е н к е ль С. Я. Структура макромолекул в растворах. М., «Наука», 1964.
14. K u h n W., K u h n H., B u c h n e r P. Hydrodynamisches verhalten von makromolekülen in Lösungen. Ergebni. exakt. Naturwiss., 1951, Bd. 25.
15. Х а б а х п а ш е в а Е. М., П е р е п е л и ц а Б. В. Поля скоростей и турбулентных пульсаций при малых добавках к воде высокомолекулярных веществ. И н ж .- ф и з . ж ., 1968, т. 14, № 4.
16. Х и н ц е И. О. Турбулентность. М., Физматгиз, 1963.
17. Ш ли х т и н г Г. Теория пограничного слоя. М., Изд-во иностр. лит. 1956.